

ISSN 0452-2982
UDC 620.173.26:
539.411

航空宇宙技術研究所資料

TECHNICAL MEMORANDUM OF NATIONAL AEROSPACE LABORATORY

TM-563

H-IIロケット衛星フェアリング構造要素模型
(アルミ面板/アルミハニカムサンドイッチ曲面
板)の軸圧縮座屈試験

遠 藤 修 司 ・ 野 口 義 男 ・ 大 竹 邦 彦

小 野 幸 一 ・ 福 島 幸 夫

1987年1月

航空宇宙技術研究所
NATIONAL AEROSPACE LABORATORY

H-IIロケット衛星フェアリング構造要素模型 (アルミ面板/アルミハニカムサンドイッチ曲面 板)の軸圧縮座屈試験*

遠藤修司** 野口義男** 大竹邦彦**

小野幸一** 福島幸夫***

1. 緒 言

本報告は、航空宇宙技術研究所と宇宙開発事業団との共同研究「H-IIフェアリングに関する研究」の中の“構造に関する研究”的一環として行なわれた共同研究の成果の一部である。

現在、宇宙開発事業団において1990年代の主力ロケットとして開発が進められているH-IIロケットは静止衛星軌道に2トン級の人工衛星を打上げる能力を有するロケットである。その開発に当っての基本方針の一つに自主技術開発があり、衛星フェアリングについても国内技術による開発が進められている。すでに宇宙開発事業団では概念設計¹⁾を終了し、フェアリング構体の構造様式としては衛星とフェアリングのクリアランス確保のための剛性および重量あるいはコスト面からなどの比較検討により数種の候補案の中から、アルミ面板とアルミハニカムコアより成るサンドイッチ構造の採用が決定されている。

衛星フェアリングは大型の殻構造であり、その構造設計では座屈強度が重要な設計条件となる。サンドイッチ構造の座屈²⁾は、二つの様式に分けられる。すなわち、コアの弾性係数が大きく面板とコアとが一体となって座屈する全体座屈(general instability)と、コアの剛性が比較的小小さく、したがって表裏面板の結合作用が弱く面板が互いに独立的に座屈するリンクリング(wrinkling)とである。さらに、コアにハニカムを用いたハニカムサンドイッチ構造

では、ハニカム板に特有な安定問題としてセル間座屈(intracell buckling)が加わる。これは、ハニカムコアではセルの壁間に薄い面板がコアと接触していないために、面内圧縮を受けると面板がセル間でたわむことにより生じる局部座屈である。また、これらの座屈現象は面板の耐荷能力によっては塑性域で生じる可能性がある。

本報告では、このようなハニカムサンドイッチ構造に特有の複雑な座屈挙動を把握し、フェアリングの構造設計に役立つ基礎的資料を得ることと、併せて今後の有限要素法による数値解析のための基礎資料を提供することを主要な目的として、当所において実施したフェアリングの部分構造要素模型すなわちアルミハニカムサンドイッチ曲面板の軸圧縮座屈試験の結果について述べる。試験は当所機体2号館に設置されている容量196kN(20ton)の万能試験機(島津製作所、IS-20Tオートグラフ)を用いて昭和61年3月25日、27日および4月1日に行なわれた。

なお、上記共同研究「H-IIフェアリングに関する研究」の昭和60年度における研究成果の全容については、共同研究成果報告書³⁾があるので参照していただきたい。

2. 供試体

実機として計画されている衛星フェアリングの外形寸度は、直徑約4m、全長約12mで、その円筒部は板厚0.4mmのアルミニウム合金7075-T6 bare sheetの面板とコア厚40mmのアルミ合金ハニカムコア 3.1-3/16-5056-.001 (密度:pcf - セル

* 昭和61年12月10日 受付

** 機体第一部

*** 宇宙開発事業団

サイズ: in.-材質-箔厚: in.) とから構成される大型のサンドイッチ構造体である。ここに選定された面板およびコアの厚さは、飛翔中の動圧最大時における“軸圧縮+曲げ”による最大等価圧縮荷重に対する全体座屈強度（終極荷重に対して強度余裕 0.5 以上を確保）および剛性要求（分離時および最大動圧時のクリアランス要求）を標準に設定されたものであり、コアの密度およびセルサイズはそれぞれリンクリングおよびセル間座屈強度が全体座屈強度よりも高くなるように設定されている。設計に用いられた終極荷重条件は、動圧最大時の制限荷重 2.06 MN (210 ton) に安全率 1.25 を乗じた 2.57 MN (262 ton) である。したがって、実機として計画されているフェアリング構造の設計座屈強度は 255 MPa (26 kgf/mm²) であり、予想される全体座屈強度は 467.8 MPa (47.7 kgf/mm²)、強度余裕は 0.83 である。

上述のように実機フェアリングは非常に大きな構造であるが、本試験では試験の目的ならびに試験機の容量などを勘案し、座屈強度が実機と同等となるように構造パラメータを設定した縮小円筒（直径約 1 m）の一部分を構成する曲面板を以て供試体とした。図 1 に供試体の形状を示す。供試体は 3 体製作した。これら 3 体の供試体 SF 3904-001A, -001B および -001C の寸度を表 1 に示す。材料構成は

3 体ともに同一構成で表 2 に示すとおりである。ハニカムコアのリボン方向は曲面板の母線方向（x 軸方向）に一致してとてある。各供試体とも端部は、端縁から約 15 mm の深さにわたって樹脂 (Minnesota Mining & Manufacturing Co., 3M EC-3524 B/A) を充填し端末処理を施してある。表 3 に面板およびハニカムコアの物性値を示す。表中の σ_1 および N は、W. Ramberg と W.R. Osgood⁴⁾ によって応力-ひずみ曲線を無次元量で表示するために導入されたパラメータである。 σ_1 は secant yield strength

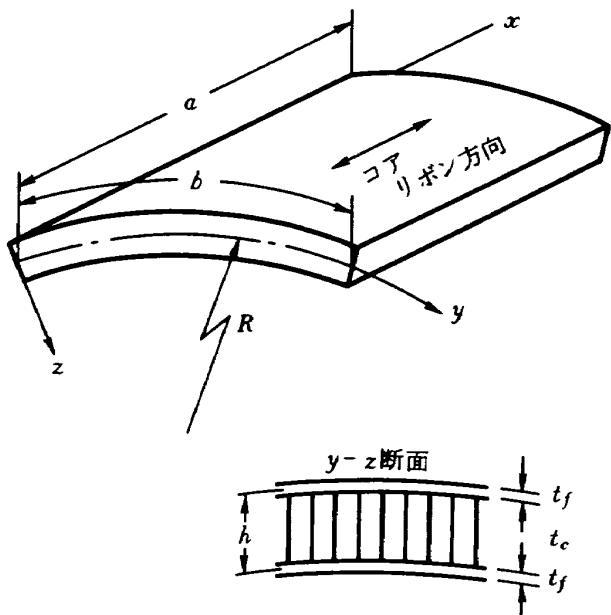


図 1 供試体形状

表 1 供試体寸度

供試体	長さ <i>a</i>	幅 <i>b</i>	半径 <i>R</i>	面板厚 <i>t_f</i>	コア厚 <i>t_c</i>
SF 3904-001A	450.6	297.4	534.0	0.42	10.7
SF 3904-001B	450.1	297.4	536.7		
SF 3904-001C	445.6	297.0	535.2		

表 2 材料構成

種別	材料名称
面板	AL-7075-T6 bare sheet
ハニカムコア	AL-3.1-3/16-5056-.001
面板-コア接着剤	フィルム接着剤 FM400 (American Cyanamid Co.)

表 3 面板およびハニカムコアの物性値

縦弾性係数 GPa (kgf/mm ²)	面板の ポアソン比	コアのせん断弾性係数 MPa (kgf/mm ²)	面板の圧縮 降伏応力 σ_{yc}		面板のRamberg-Osgoodのパラメータ	
			MPa (kgf/mm ²)	σ_1 MPa (kgf/mm ²)	N	
面板 E_f	コア E_c	ν_f	G_{cxz}	G_{cyz}	468.8 (47.8)	486.4 (49.6)
72.37 (7380)	0.669 (68.2)	0.33	309.9 (31.6)	138.3 (14.1)		10

と呼ばれ、応力-ひずみ線図において原点を通る勾配 $0.7 E$ (E : 縦弾性係数) の直線と応力-ひずみ曲線との交点における応力値として定義される。また、 N は材料の形状パラメータである。

3. 試験装置および試験方法

試験は前述のように容量 196 kN (20 ton) の万能試験機を用いて行なった。測定項目は、軸圧縮荷重、供試体のひずみ、面外変位および試験機のクロスヘッド変位である。ひずみは、単軸および 2 軸 90° 交叉の抵抗線ひずみゲージ（共和電業、KFC-5-C1-11 および KFC-5-D16-11）により検出し、デジタル静ひずみ計（共和電業、UCAM-5 BT および SD-400 A）にて所定の荷重刻みで測定した。供試体のひずみ測定標点は表裏相対応する箇所とし、それらに同一の一連番号を付した。位置番号の表裏の区別は表側（凸側）に接頭記号 A を、裏側に B を付することにした。図 2 に供試体表側のひずみ測定標点位置を示す。これら標点位置は供試体の中心線を基準として定めた。図中の C を付された測定位置番号はその点が周方向ひずみの測定位置であることを示す。測定点数は周方向ひずみ測定点を含めて合計 32 点である。面外変位とクロスヘッド変位の測定には、ひずみゲージ式変位変換器（共和電業、DT-20D）を用い、動ひずみ計（共和電業、DPM-611 BS）を介して 2 素子 XY レコーダ（渡辺測器、WX4422）にそれぞれ荷重に対して連続的に記録した。面外変位の測定標点は、供試体 SF3904-001A および B では、ひずみの測定標点 A 8 の下方約 10 mm の点であり、供試体 -001C では A 8 の上方 7 mm の点である。

試験は平滑な端板を用いて平押して行なった。供試体の側辺は単純支持の条件をできるだけ実現でき

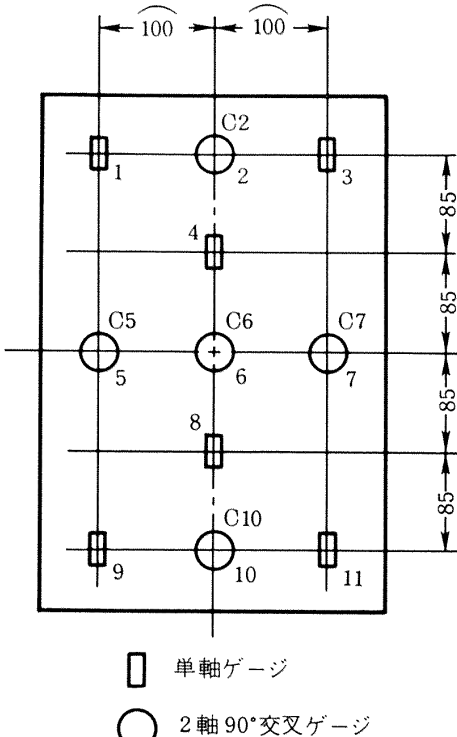


図 2 ひずみ測定点

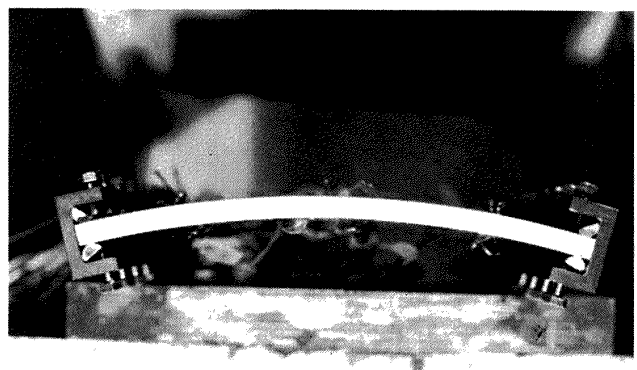


図 3 供試体側辺の支持状況

るよう設計した側辺部支持金具を用い図 3 に示すように支持した。なお荷重は軸方向のひずみが周方向にはほぼ一様となるように調整して負荷した。また、

座屈後の供試体のモアレ縞をモアレカメラ（富士写真光機, FM80）で $50 \mu\text{m}$ の格子を用いて撮影した。試験の手順を図 4 に、試験の状況を図 5 に示す。

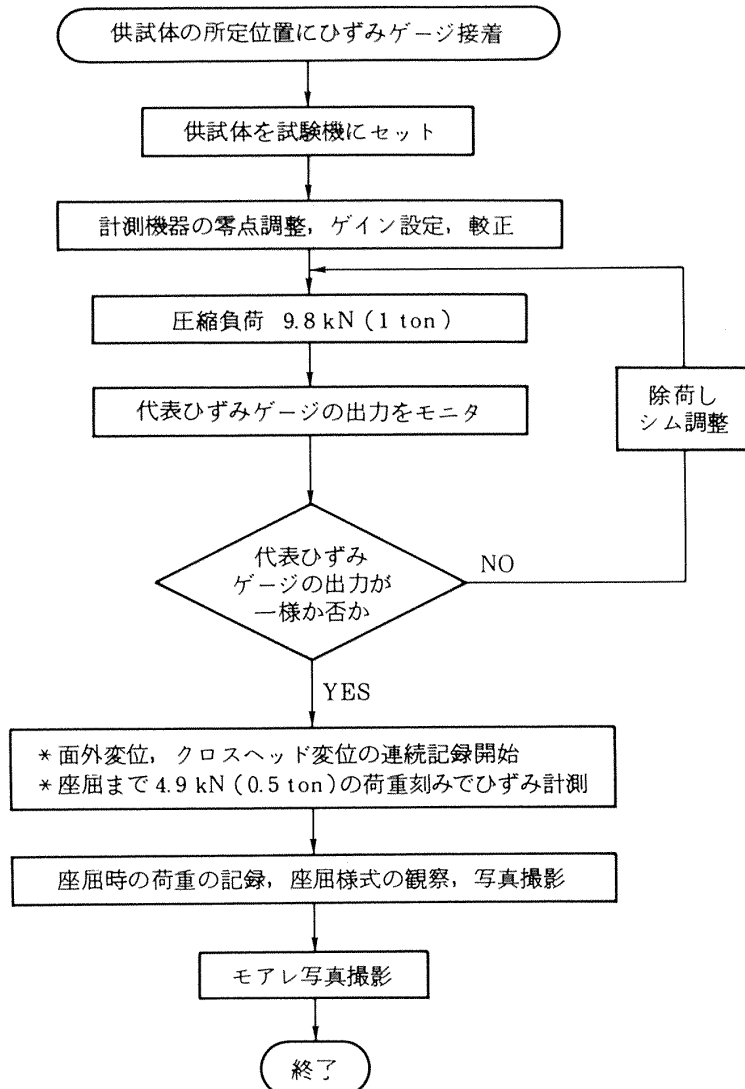
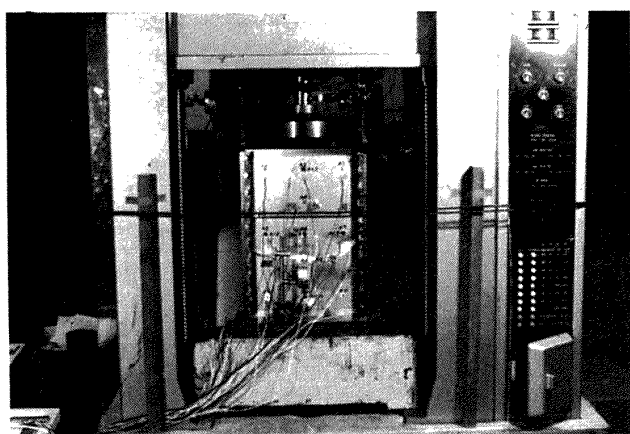
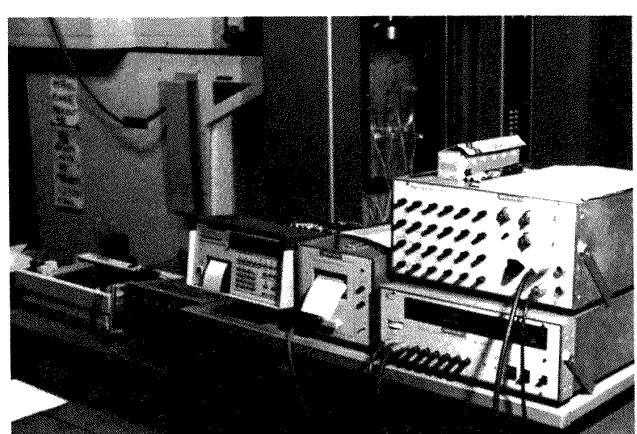


図 4 試験の手順



(a) 試験状況概観



(b) 計測機器

図 5 試験の状況

4. 試験結果

試験により得られた座屈荷重は、供試体 SF 3904 - 001A では 147.1 kN (15.0 ton), - 001B では 144.2 kN (14.7 ton) そして - 001C では 126.5 kN (12.9 ton) であった。各供試体の座屈様式は、- 001A と B は全体座屈であり、001C はリンクリングによる破壊であった。破壊はいずれも供試体のはば中央で発生した。図 6 に座屈後の供試体の写真を示す。供試体 - 001A を試験後に試験機から取り外し、外観を観察した結果、面板にセルサイズに対応する間隙の横縞（面板の軸方向の波打ち）を発生していることが確認された。これは図 6(a)の供試体破壊部の写真にも明瞭に認められる。供試体 - 001B の試験中の目視による観察で、この波打現象は負荷荷重約 118 kN (12 ton) で発生することが確認された。- 001C の供試体は、外観上この波打現象を示すことなく荷重 126.5 kN (12.9 ton) で突然破壊した。

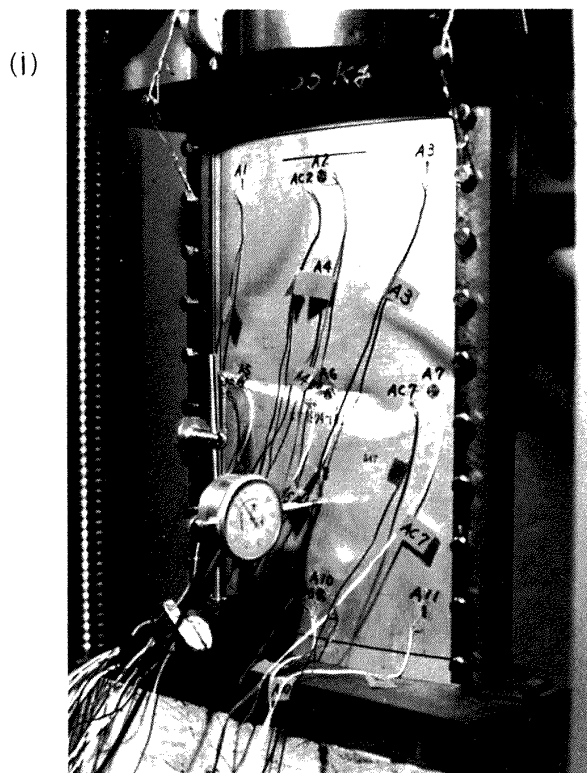
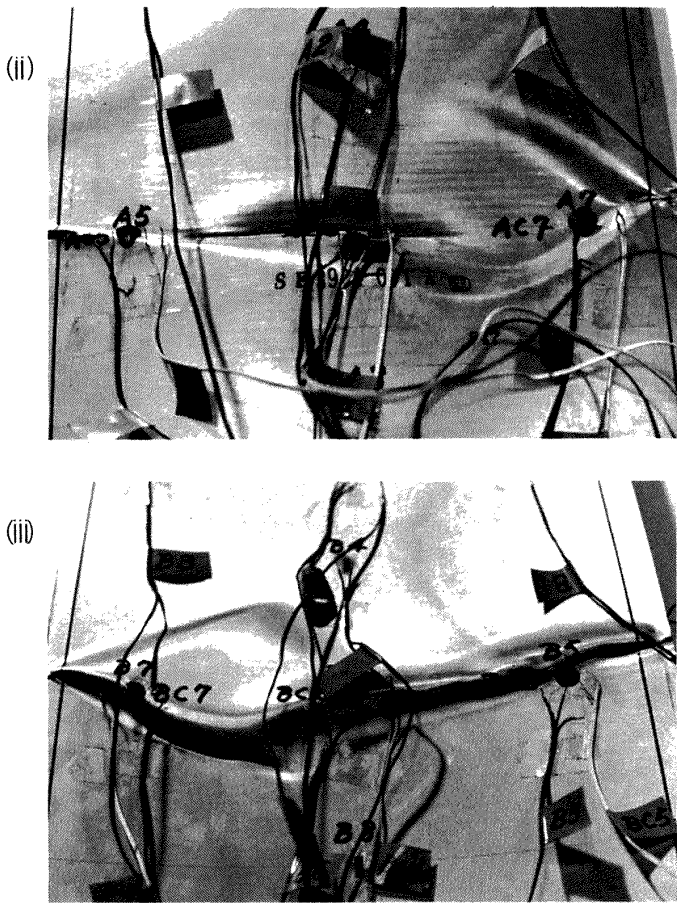


図 6(a) 座屈後の供試体 SF 3904-001 A

- (i) 全体概観
- (ii) 表側破壊部詳細
- (iii) 裏側破壊部詳細

図 7 に供試体 - 001A, B および C の荷重 - ひずみ曲線の代表例（いずれも供試体中央部の A 6 および B 6 のひずみ）を示す。これらの図を見ると、ひずみは荷重の増加とともに三者ほぼ同じ勾配で直線的に増加するが 118 kN (12 ton) 前後で直線から離れ始めることが判る。この荷重 118 kN は供試体 - 001B の試験中に確認された波打現象の発生する荷重に丁度一致する。また、面板の圧縮降伏応力値 $\sigma_{yc} = 468.8 \text{ MPa}$ (47.8 kgf/mm^2) に対応する荷重でもある。荷重が 118 kN を超えると、ひずみは急速に増加し始めることが判る。明らかに、座屈は塑性域で生じている。

試験機のクロスヘッド変位および面外変位と荷重との関係を図 8 に示す。荷重に対するクロスヘッド変位すなわち供試体の端末縮み量は各供試体殆ど同じ勾配で直線的に増加する。そして約 118 kN (12 ton) の近傍で直線から離れ始めることは図 7 の荷重 - ひずみ曲線の場合と同様である。面外変位は供試体 - 001B を例にとると、負荷と同時に供試体の曲



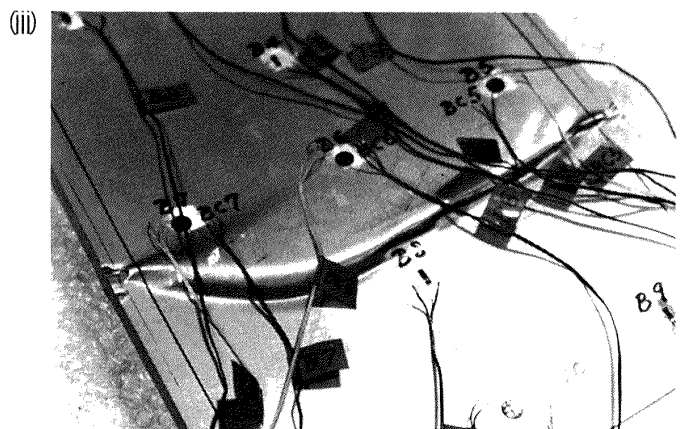
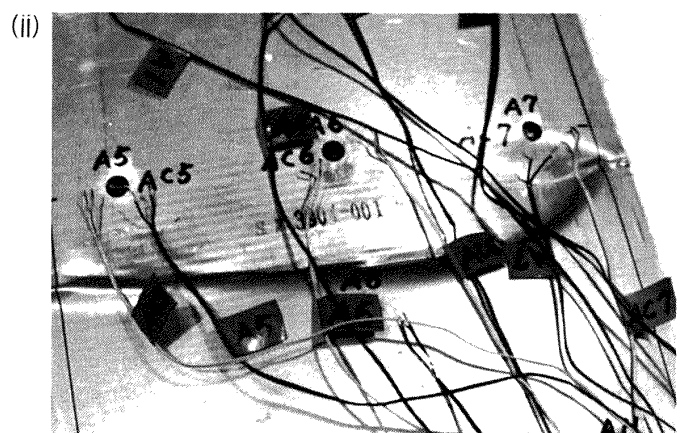
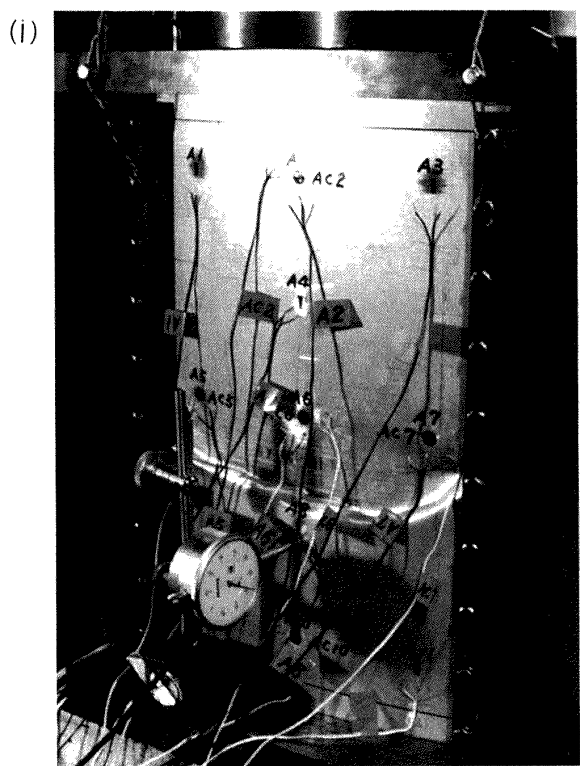


図 6 (b) 座屈後の供試体 SF 3904 - 001 B

- (i) 全体概観
- (ii) 表側破壊部詳細
- (iii) 裏側破壊部詳細

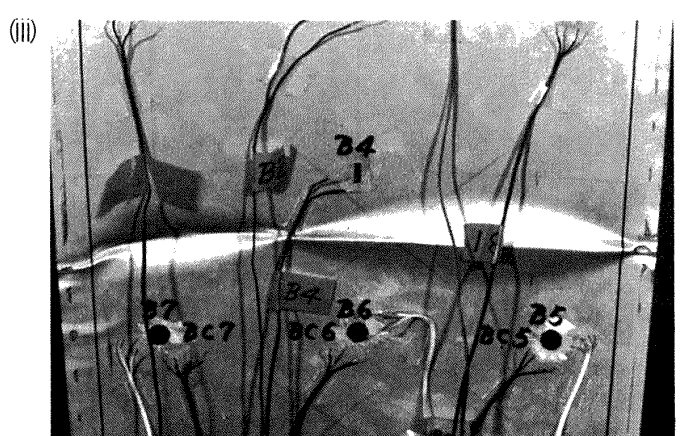
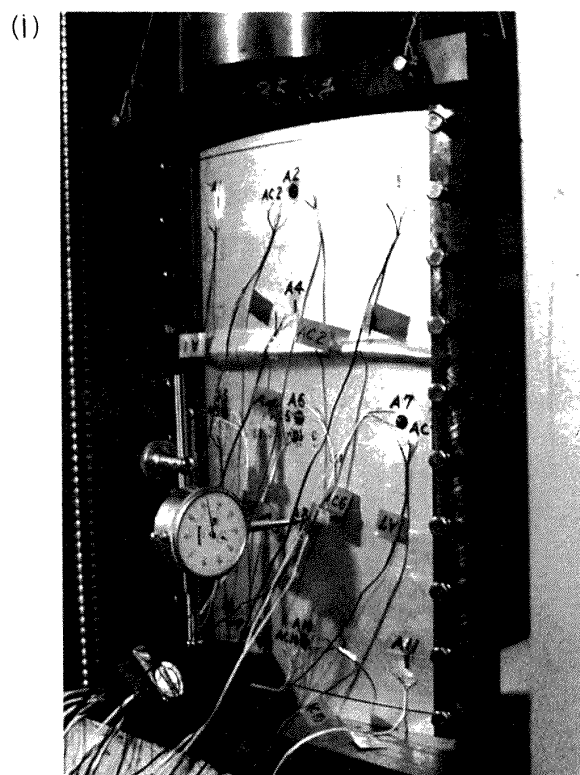


図 6 (c) 座屈後の供試体 SF 3904 - 001 C

- (i) 全体概観
- (ii) 表側破壊部詳細
- (iii) 裏側破壊部詳細

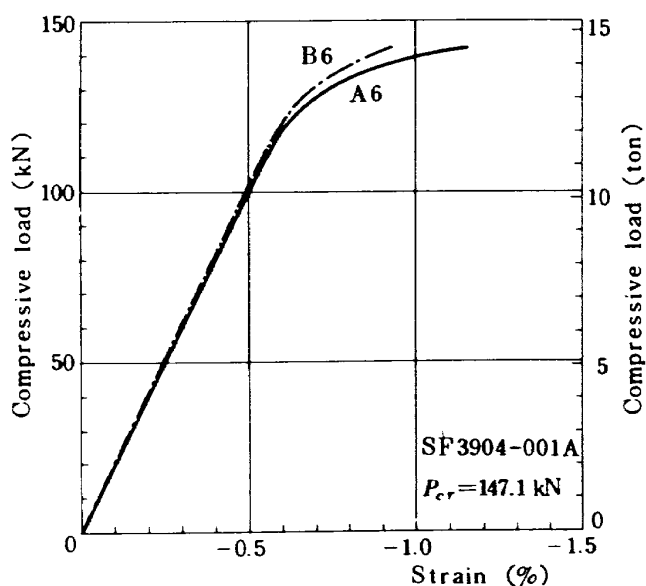


図 7(a) 荷重-ひずみ曲線, SF 3904-001A

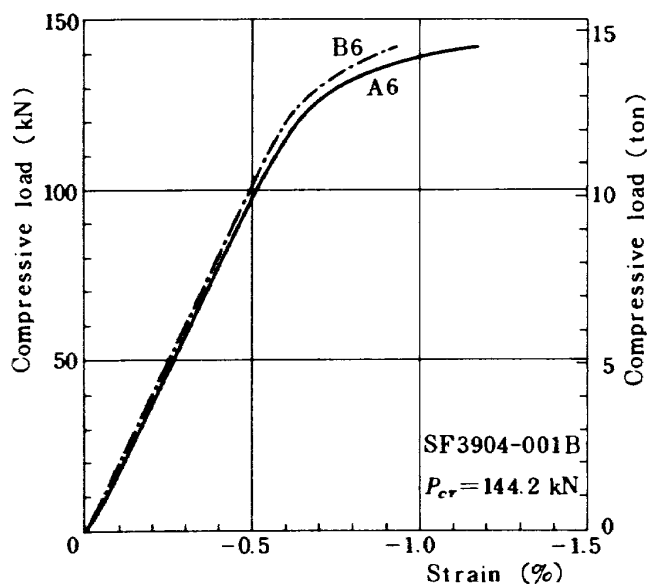


図 7(b) 荷重-ひずみ曲線, SF 3904-001B

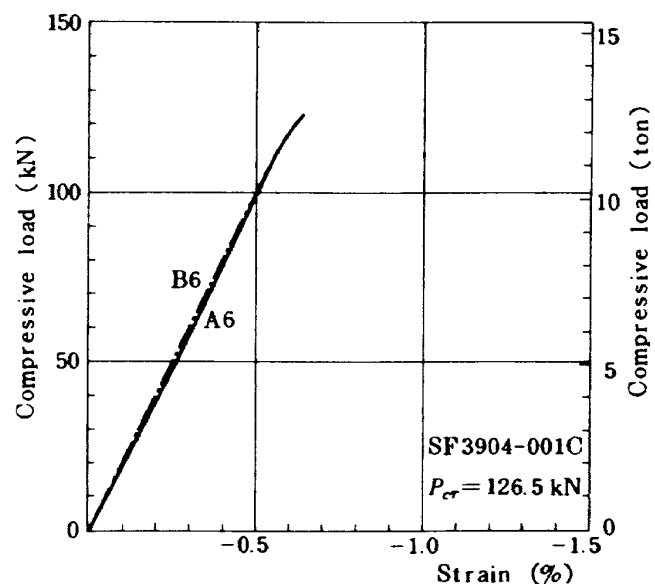


図 7(c) 荷重-ひずみ曲線, SF 3904-001C

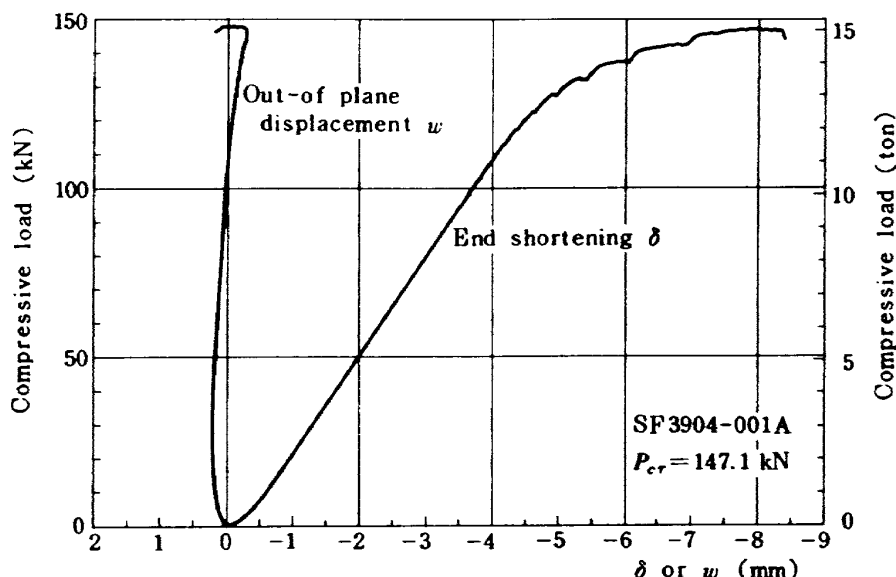


図 8(a) 荷重-(端末縮み)面外変位曲線, SF 3904-001A

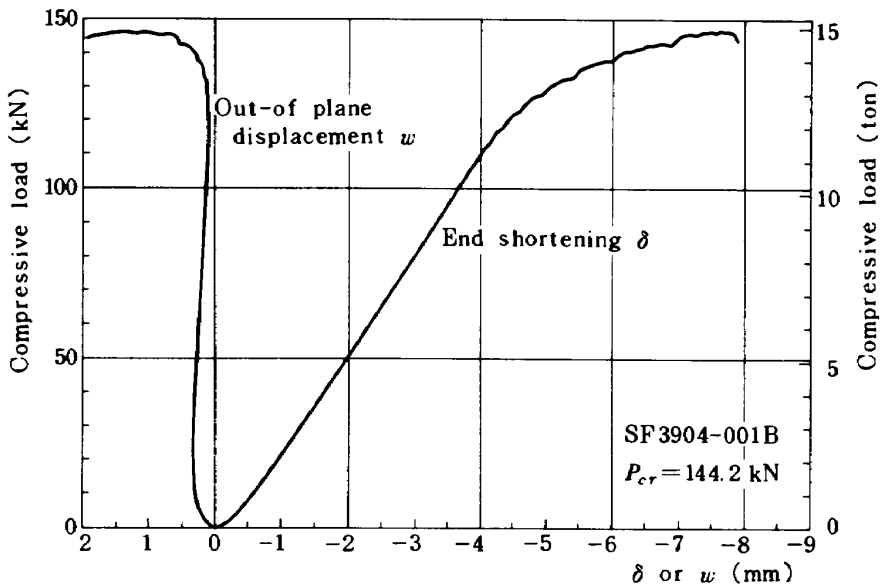


図 8(b) 荷重 - (端末縮み) 面外変位 曲線, SF 3904 - 001B

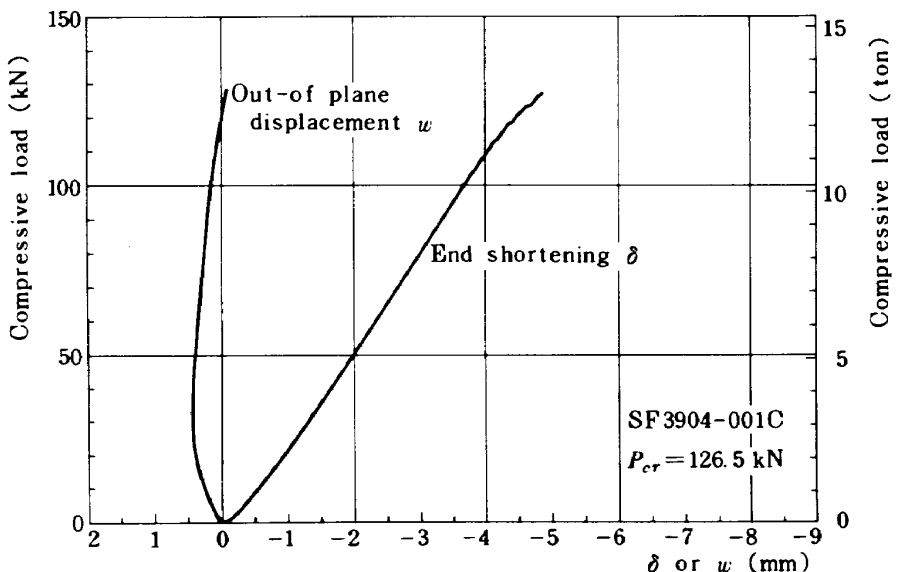


図 8(c) 荷重 - (端末縮み) 面外変位 曲線, SF 3904 - 001C

率中心の方向に変位し始め荷重 20 kN (2 ton) から 29 kN (3 ton) にわたって極大変位 0.34 mm を示す。以後なだらかに下降し 118 kN (12 ton) では 0.08 mm にまで減少するが、127 kN (13 ton) を超えると再び急激に増加している。この急激な増加は、-001B の破壊が面外変位の測定点に極めて近い箇所で発生したためであり、このことを除けば他の 2 体の供試体もほぼ同様の挙動を示していることが判る。

図 9 に、ひずみ分布の一例として供試体-001B の負荷荷重 98.1 kN (10 ton) における分布を示す。周方向の分布をみると供試体の上端部 (A1-A2-A3), 中央部 (A5-A6-A7) および下端部 (A9-A10-A11)

の最大バラツキ幅は、それぞれ 520, 370 および 450 μ で、周方向に一様に負荷することの困難さを考慮すると許容できる範囲と考えられる。

図 10 に座屈後の供試体のモアレ写真を示す。

なお、付録に取得した各供試体の負荷荷重に対するひずみの全測定データを記載する。

5. 座屈荷重の算定

本試験結果に示されるような塑性座屈では、座屈限界値における応力とひずみとを関係づける係数が縦弾性係数とは異なり、低い値となる。そのため弹性座屈として求めた解は過大な値を与えることにな

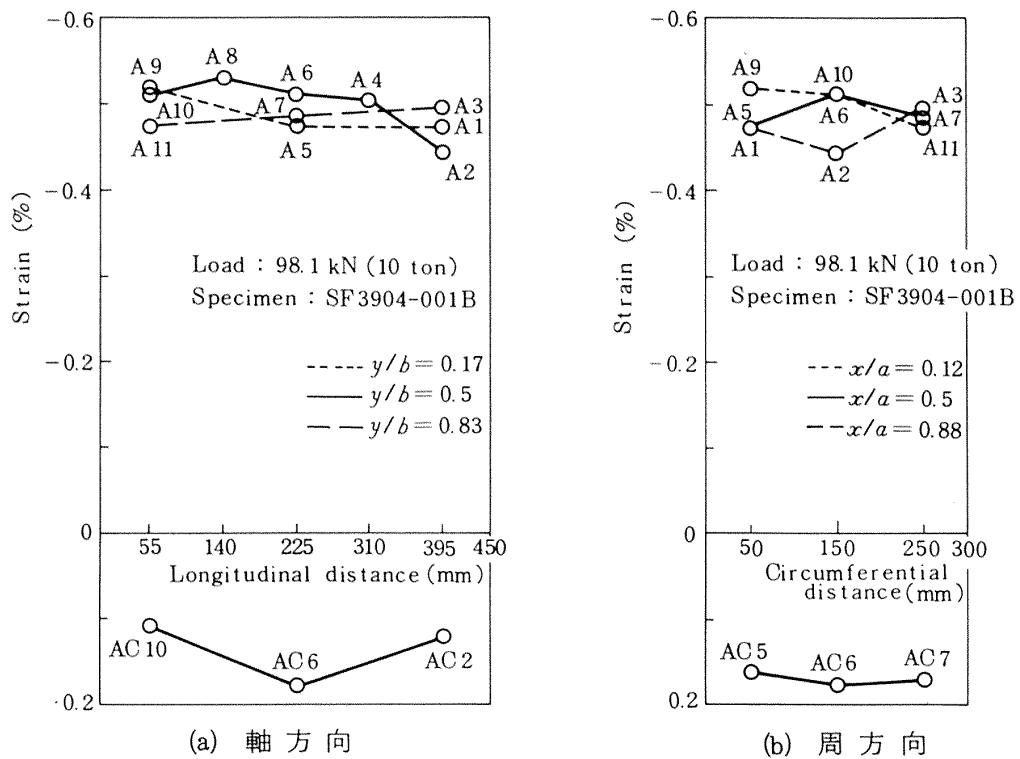
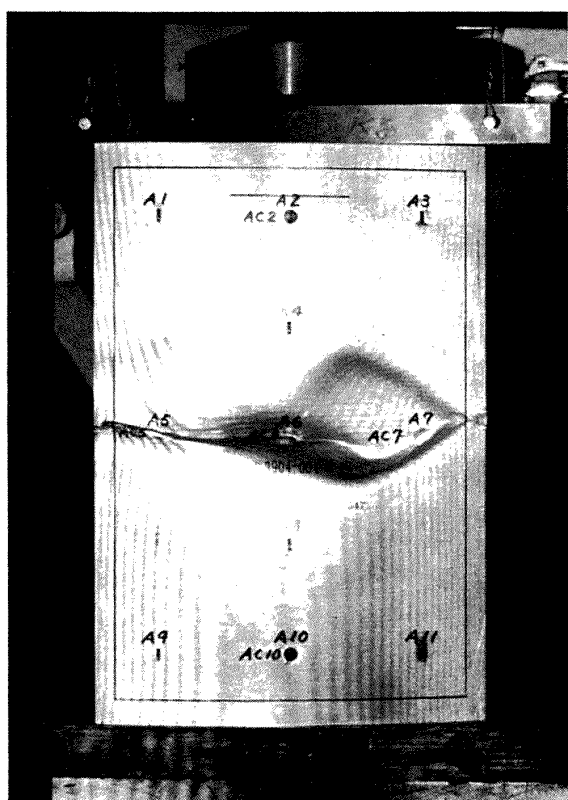
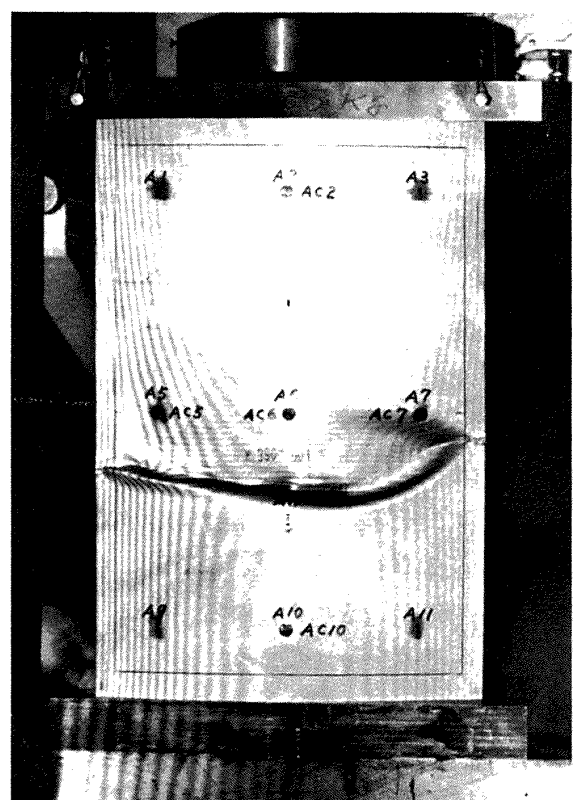


図 9 ひずみ分布の一例, SF 3904-001 B

図 10 (a) 座屈後の供試体のモアレ写真
SF 3904-001 A図 10 (b) 座屈後の供試体のモアレ写真
SF 3904-001 B

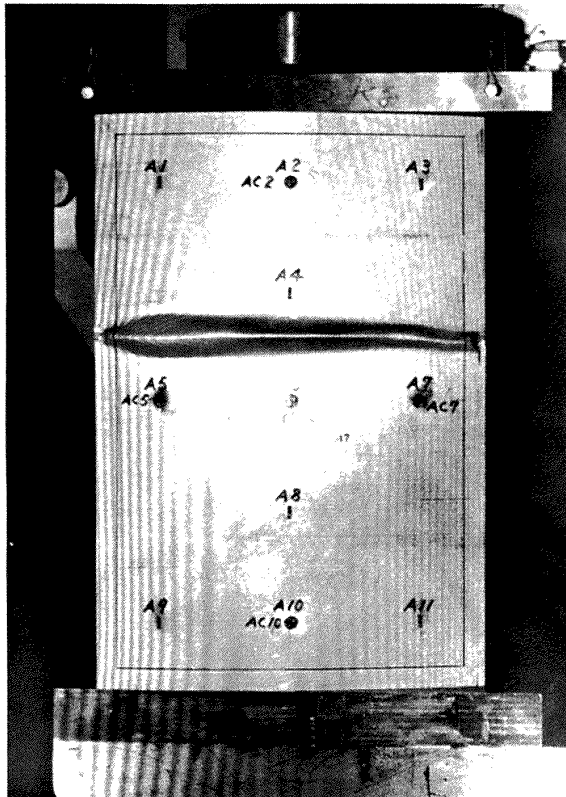


図 10 (c) 座屈後の供試体のモアレ写真
SF 3904-001 C

る。そこで塑性域では縦弾性係数の代りに、縦弾性係数に塑性減少係数 (plasticity-reduction factor) η を乗じた値が用いられる。

本報告では、座屈荷重の算定に以下に示す諸式を用いる。

(1) 全体座屈

M. Stein と J. Mayers⁵⁾は、サンドイッチ曲面板を一枚の直交異方性曲面板として取り扱い、横せん断によるたわみを考慮した基礎式を周辺単純支持の直交異方性サンドイッチ曲面板の一様軸圧縮座屈問題に適用して、その弾性座屈限界値を求めていた。本報告では全体座屈の算定式として、この Stein らの解を基本的に用いることにする。ただし、ここでは、この解析式に含まれる弾性定数の評価を容易にするために、通常の単純なサンドイッチ板の曲げ理論で良く用いられる次の仮定を設ける。

- (i) コアは面板に垂直な面内のせん断応力のみを受けもつ。
- (ii) 面板は薄くて面板自体の曲げ剛性は無視できる。

また、表裏面板は等方性で同質、等厚とし、軸圧縮

力は表裏二枚の面板によってのみ負担されるものとすると、Stein と Mayers の式は、サンドイッチ曲面板を座屈させるのに必要な軸圧縮応力 (固有値) を σ_x と記すならば、図 1 の座標系ならびに表 1 および表 3 に示す記号を使って、面板の塑性の効果をも含めて次の形に書くことができる。

$$\sigma_x = K \frac{\pi^2 \eta B}{2(1-\nu_f^2) t_f b^2} \quad (1)$$

ここに、

$$K = \frac{(1+n^2\lambda)^2(\mu + \lambda/V_y)}{\lambda(\mu + n^2\lambda + \lambda/V_y)} + \frac{4Z^2\lambda}{\pi^4(1+n^2\lambda)^2} \quad (2)$$

ただし、

$$\left. \begin{aligned} V_y &= \frac{\pi^2 \eta B}{(1-\nu_f^2) b^2 \Gamma_y} && ; \text{ (剛性比)} \\ Z &= \frac{b^2}{R h} \sqrt{1 - \nu_f^2} && ; \text{ (形状係数)} \\ \lambda &= \left(\frac{a}{m b} \right)^2, \quad \mu = \frac{1 - \nu_f}{2} \end{aligned} \right\} \quad (3)$$

そして、

$$\left. \begin{aligned} B &= \frac{E_f t_f h^2}{2} && ; \text{ (梁理論での曲げ剛性)} \\ \Gamma_y &= G_{cyz} t_c && ; \text{ (横せん断剛性)} \\ h &= t_c + t_f \end{aligned} \right\} \quad (4)$$

梁理論で定義される曲げ剛性 B は、殻理論での曲げ剛性を D と記すならば、 $D=B/(1-\nu_f^2)$ の関係にある。また、 m および n はそれぞれ軸および周方向の座屈半波数であり、 η は前述の塑性減少係数で、種々の提案がなされているが、ここでは塑性論の全ひずみ理論 (変形理論) を基に導かれ、実験値と比較的良い一致を与えるとされる G. Gerard⁶⁾ および E.Z. Stowell⁷⁾ による次の二つの式を採用し、それぞれに対して限界値を算出することにする。

$$\left. \begin{aligned} \text{Gerard : } \eta &= \frac{\sqrt{E_s E_t}}{E_f} \\ \text{Stowell : } \eta &= \frac{E_s}{E_f} \left(\frac{1}{2} + \frac{1}{2} \sqrt{\frac{1}{4} + \frac{3}{4} \frac{E_t}{E_s}} \right) \end{aligned} \right\} \quad (5)$$

ここに、 E_s および E_t は、面板の正割弾性係数およ

び正接弾性係数で Ramberg と Osgood のパラメータを用い次式で与えられる⁴⁾。

$$\left. \begin{aligned} \frac{E_s}{E_f} &= \frac{1}{1 + \{3(\sigma_x/\sigma_1)^{N-1}/7\}} \\ \frac{E_t}{E_f} &= \frac{1}{1 + \{3N(\sigma_x/\sigma_1)^{N-1}/7\}} \end{aligned} \right\} \quad (6)$$

ここに、 σ_x は面板の軸方向応力である。したがって、式(1)は σ_x についての高次の代数方程式となっている。座屈応力 σ_{cr} は、式(1)を満足する σ_x の最小値として定まる。

(2) リンクリング

面板のリンクリング現象は弾性床上に支持された板の座屈問題に帰着でき、種々の解析がなされているが、ここでは安全側の式として次式⁸⁾を用いる。

$$\sigma_{cr} = 0.43 (\eta E_f E_c G_{czz})^{1/2} \quad (7)$$

ここに、 η は次式で与えられる塑性減少係数である。

$$\eta = \frac{E_s + 3E_t}{4E_f} \quad (8)$$

(3) セル間座屈

種々提唱される解析解があるが、ここでは次式⁸⁾を用いる。

$$\sigma_{cr} = \frac{2.28 \eta E_f}{1 - \nu_f^2} \left(\frac{t_f}{s} \right)^2 \quad (9)$$

ここに、 s はハニカムコアのセルサイズであり、 η は次式で与えられる塑性減少係数である。

$$\eta = \frac{2E_t}{E_f + E_t} \quad (10)$$

以上の諸式を用いて得られた座屈応力の計算値を試験の結果とともに表4に示す。

6. 結 言

座屈荷重の算定に用いた計算式は、試験結果に対して安全側に比較的良い推定値を与えることが確認された。全体座屈の算定において採用した二種の塑性減少係数、すなわち Gerard の式と Stowell の式とでは、後者のほうが本試験結果に対して、より良好な適合度を示した。また、試験結果と座屈応力の算定値とから次のことが推論できる。

- (i) 供試体 SF 3904-001 A および B は、負荷荷重 118 kN (12 ton) の前後でセル間座屈、すなわち局部座屈を起こし、面板に波打現象を呈するが、その後も面板とコアとの接着強度はそれほど低下することなく耐荷能力を有し、147 kN (15 ton) 前後で全体座屈により破壊した。
- (ii) 供試体 SF 3904-001 C も、-001 A および B と同様に負荷荷重 118 kN (12 ton) の近傍でセル間座屈を起こしたものと思われる。しかし、

表4 試験結果と計算値

供 試 体	試 験 結 果		座屈応力計算値 MPa (kgf/mm ²)		
	座屈荷重 kN P_{cr} (ton)	座屈応力 MPa σ_{cr} (kgf/mm ²)	$(\sigma_{cr})_G$	$(\sigma_{cr})_W$	$(\sigma_{cr})_I$
SF 3904-001 A	147.1 (15.0)	589.4 (60.1)	* ₁₎ 505.0 (51.5)		
SF 3904-001 B	144.2 (14.7)	577.6 (58.9)	* ₂₎ 556.0 (56.7)	559.0 (57.0)	482.5 (49.2)
SF 3904-001 C	126.5 (12.9)	507.0 (51.7)			

Subscripts

G: General instability, W: Wrinkling instability, I: Intracell buckling

*₁₎ Plasticity-reduction factor : $\eta = \frac{\sqrt{E_s E_t}}{E_f}$

*₂₎ Plasticity-reduction factor : $\eta = \frac{E_s}{E_f} \left(\frac{1}{2} + \frac{1}{2} \sqrt{\frac{1}{4} + \frac{3}{4} \frac{E_t}{E_s}} \right)$

前二者と異なり、ほぼ同時に、このセル間座屈が起因して面板とコアとの接着剥離の発生などによる接合力の低下をまねき、面板のリンクリングを誘発し瞬時に破壊した。

終りに、本試験の供試体の作製に際し、お世話頂いた川崎重工業(株)の坂井義典氏をはじめ宇宙機器設計課の関係各位に深謝の意を表します。また、モアレカメラの使用の便宜を計られた当所機体第二部機体構造研究室の藤森義典室長および写真の撮影に当たり御教示頂いた青木由雄、木部勢至朗両主任研究官に感謝の意を表します。

参考文献

- 1) 中野富雄、渡辺篤太郎、福島幸夫、中村富久、
“H-IIロケット衛星フェアリングの設計検討,”
第28回宇宙科学技術連合講演会講演集、昭和59
年10月25日, pp. 264-265
- 2) 植村益次、“サンドイッチ構造の安定強度,” 日
本機械学会誌、第71巻、第593号、昭和43年6
月, pp. 712-720
- 3) 航空宇宙技術研究所、宇宙開発事業団、“共同
研究成果報告書 H-IIフェアリングに関する
研究(中間報告),”昭和61年8月
- 4) W. Ramberg and W.R.Osgood, “Descrip-

tion of Stress-Strain Curves by Three
Parameters,” NACA TN 902, National
Advisory Committee for Aeronautics, July
1943

- 5) M. Stein and J.Mayers, “Compressive
Buckling of Simply Supported Curved
Plates and Cylinders of Sandwich Const-
ruction,” NACA TN 2601, National Advisory
Committee for Aeronautics, January
1952
- 6) G. Gerard and H. Becker, “Handbook of
Structural Stability, part III, Buckling of
Curved Plates and Shells,” NACA TN
3783, National Advisory Committee for
Aeronautics, August 1957
- 7) E.Z.Stowell, “A Unified Theory of Plas-
tic Buckling of Columns and Plates,”
NACA TN 1556, National Advisory
Committee for Aeronautics, April 1948
- 8) E.H.Baker, L.Kovalevsky and F.L.Rish,
“Structural Analysis of Shells,” McGraw-
Hill Book Company, Inc., New York,
1972

付録 負荷圧縮荷重に対するひずみ実測値

荷重 kN (ton)	位置 番号	ひずみ測定値 μ								
		供試体 SF 3904-001 A			供試体 SF 3904-001 B			供試体 SF 3904-001 C		
		A(表)	B(裏)	平均	A(表)	B(裏)	平均	A(表)	B(裏)	平均
4.90 (0.5)	1	- 208	- 224	- 216	- 225	- 227	- 226	- 234	- 186	- 210
	2	- 160	- 256	- 208	- 238	- 281	- 260	- 264	- 272	- 268
	3	- 253	- 219	- 236	- 245	- 325	- 285	- 249	- 192	- 221
	4	- 290	- 277	- 284	- 286	- 278	- 282	- 249	- 249	- 249
	5	- 214	- 195	- 205	- 231	- 196	- 214	- 239	- 232	- 236
	6	- 298	- 263	- 281	- 348	- 282	- 315	- 299	- 274	- 286
	7	- 265	- 251	- 258	- 284	- 227	- 256	- 274	- 253	- 264
	8	- 321	- 234	- 278	- 442	- 302	- 372	- 365	- 270	- 318
	9	- 375	- 96	- 236	- 261	- 54	- 158	- 372	- 110	- 241
	10	- 262	- 72	- 167	- 556	- 211	- 384	- 324	- 150	- 237
	11	- 539	- 241	- 390	- 291	- 95	- 193	- 387	- 132	- 260
	C 2	42	32	37	85	95	90	111	105	108
	C 5	66	82	74	60	79	70	66	91	79
	C 6	94	114	104	97	138	118	82	120	101
	C 7	91	96	94	83	92	88	84	89	87
	C 10	1	- 27	- 13	81	46	64	45	58	52
9.81 (1.0)	1	- 434	- 442	- 438	- 451	- 446	- 449	- 477	- 363	- 420
	2	- 377	- 476	- 427	- 468	- 516	- 492	- 504	- 495	- 500
	3	- 560	- 449	- 505	- 517	- 588	- 553	- 525	- 389	- 457
	4	- 547	- 523	- 535	- 543	- 531	- 537	- 480	- 473	- 477
	5	- 430	- 407	- 418	- 454	- 403	- 429	- 455	- 450	- 453
	6	- 549	- 501	- 525	- 623	- 534	- 578	- 549	- 512	- 530
	7	- 516	- 494	- 505	- 546	- 464	- 505	- 508	- 478	- 493
	8	- 572	- 462	- 517	- 747	- 559	- 653	- 636	- 484	- 560
	9	- 747	- 257	- 502	- 597	- 204	- 401	- 738	- 228	- 483
	10	- 463	- 172	- 318	- 871	- 432	- 652	- 541	- 245	- 393
	11	- 878	- 537	- 708	- 485	- 273	- 379	- 752	- 261	- 507
	C 2	100	75	88	149	159	154	189	179	184
	C 5	134	158	146	128	160	144	129	171	150
	C 6	174	201	188	181	245	213	153	213	183
	C 7	178	183	181	171	181	176	157	169	163
	C 10	1	- 34	- 17	130	100	115	62	84	73
14.71 (1.5)	1	- 666	- 686	- 676	- 680	- 654	- 667	- 754	- 553	- 654
	2	- 602	- 715	- 659	- 713	- 728	- 721	- 728	- 723	- 726
	3	- 838	- 676	- 757	- 797	- 830	- 814	- 794	- 604	- 699
	4	- 796	- 771	- 784	- 800	- 781	- 791	- 746	- 713	- 730
	5	- 659	- 640	- 650	- 681	- 625	- 653	- 683	- 682	- 683
	6	- 792	- 742	- 767	- 882	- 781	- 832	- 815	- 763	- 789
	7	- 757	- 732	- 745	- 796	- 702	- 749	- 755	- 715	- 735
	8	- 812	- 693	- 753	- 1016	- 810	- 913	- 920	- 710	- 815
	9	- 1082	- 448	- 765	- 903	- 401	- 652	- 1108	- 342	- 725
	10	- 655	- 295	- 475	- 1130	- 682	- 906	- 761	- 348	- 555
	11	- 1181	- 826	- 1004	- 677	- 470	- 574	- 1122	- 406	- 764
	C 2	165	127	146	202	217	210	254	242	248
	C 5	207	236	222	201	239	220	194	257	226
	C 6	257	280	264	263	338	301	227	313	270
	C 7	265	264	265	255	267	261	233	253	243
	C 10	7	- 37	- 18	193	155	174	79	114	97

荷重 kN (ton)	位置 番号	ひずみ測定値 μ								
		供試体 SF 3904-001A			供試体 SF 3904-001B			供試体 SF 3904-001C		
		A(表)	B(裏)	平均	A(表)	B(裏)	平均	A(表)	B(裏)	平均
19. 61 (2.0)	1	- 903	- 941	- 922	- 919	- 876	- 898	- 1033	- 743	- 888
	2	- 826	- 955	- 891	- 949	- 947	- 948	- 938	- 949	- 944
	3	- 1108	- 908	- 1008	- 1070	- 1074	- 1072	- 1044	- 823	- 934
	4	- 1045	- 1019	- 1032	- 1055	- 1031	- 1043	- 968	- 950	- 959
	5	- 895	- 878	- 887	- 915	- 856	- 886	- 908	- 911	- 910
	6	- 1036	- 982	- 1009	- 1138	- 1027	- 1082	- 1071	- 1009	- 1040
	7	- 995	- 966	- 981	- 1042	- 936	- 989	- 996	- 949	- 973
	8	- 1051	- 931	- 991	- 1275	- 1059	- 1167	- 1191	- 933	- 1062
	9	- 1389	- 661	- 1025	- 1182	- 632	- 907	- 1458	- 453	- 956
	10	- 856	- 440	- 648	- 1375	- 927	- 1151	- 967	- 455	- 711
	11	- 1460	- 1099	- 1280	- 882	- 670	- 776	- 1443	- 590	- 1017
	C 2	231	186	209	253	270	262	317	297	307
	C 5	284	317	301	279	318	299	263	339	301
	C 6	338	360	349	347	426	387	302	409	356
	C 7	352	345	349	337	351	344	309	337	323
	C 10	20	- 29	- 5	254	209	232	94	144	119
24. 52 (2.5)	1	- 1142	- 1200	- 1171	- 1163	- 1124	- 1144	- 1324	- 940	- 1132
	2	- 1051	- 1193	- 1122	- 1185	- 1187	- 1186	- 1145	- 1184	- 1165
	3	- 1373	- 1144	- 1259	- 1335	- 1325	- 1330	- 1290	- 1053	- 1172
	4	- 1290	- 1266	- 1278	- 1311	- 1292	- 1302	- 1213	- 1191	- 1202
	5	- 1131	- 1118	- 1125	- 1159	- 1097	- 1128	- 1136	- 1142	- 1139
	6	- 1279	- 1223	- 1251	- 1397	- 1278	- 1337	- 1331	- 1259	- 1295
	7	- 1230	- 1199	- 1215	- 1286	- 1178	- 1232	- 1245	- 1190	- 1218
	8	- 1293	- 1172	- 1233	- 1531	- 1312	- 1422	- 1460	- 1166	- 1313
	9	- 1676	- 897	- 1287	- 1446	- 881	- 1164	- 1790	- 580	- 1185
	10	- 1069	- 601	- 835	- 1620	- 1171	- 1396	- 1162	- 609	- 886
	11	- 1725	- 1361	- 1543	- 1100	- 881	- 991	- 1739	- 824	- 1282
	C 2	295	245	270	308	324	316	380	351	366
	C 5	365	396	381	360	399	380	331	424	378
	C 6	422	442	432	434	513	474	384	503	444
	C 7	436	427	432	423	436	430	390	420	405
	C 10	47	- 12	18	309	262	286	120	182	151
29. 42 (3.0)	1	- 1390	- 1467	- 1429	- 1393	- 1363	- 1378	- 1602	- 1137	- 1370
	2	- 1279	- 1437	- 1358	- 1400	- 1415	- 1408	- 1338	- 1413	- 1376
	3	- 1639	- 1391	- 1515	- 1577	- 1563	- 1570	- 1518	- 1279	- 1399
	4	- 1540	- 1518	- 1529	- 1550	- 1537	- 1544	- 1448	- 1423	- 1436
	5	- 1375	- 1364	- 1370	- 1389	- 1323	- 1356	- 1358	- 1367	- 1363
	6	- 1526	- 1467	- 1497	- 1636	- 1512	- 1574	- 1578	- 1495	- 1536
	7	- 1469	- 1433	- 1451	- 1516	- 1404	- 1460	- 1478	- 1417	- 1448
	8	- 1538	- 1421	- 1480	- 1770	- 1550	- 1660	- 1714	- 1394	- 1554
	9	- 1952	- 1147	- 1550	- 1688	- 1114	- 1401	- 2078	- 740	- 1409
	10	- 1293	- 772	- 1033	- 1847	- 1397	- 1622	- 1336	- 814	- 1075
	11	- 1988	- 1619	- 1804	- 1311	- 1090	- 1201	- 1999	- 1051	- 1525
	C 2	361	307	334	360	373	367	441	401	421
	C 5	447	481	464	439	474	457	403	502	453
	C 6	508	526	517	517	592	555	466	588	527
	C 7	523	512	518	501	513	507	471	501	486
	C 10	75	12	44	—	309	—	165	227	196

荷重 kN (ton)	位置 番号	ひずみ測定値 μ								
		供試体 SF 3904-001 A			供試体 SF 3904-001 B			供試体 SF 3904-001 C		
		A(表)	B(裏)	平均	A(表)	B(裏)	平均	A(表)	B(裏)	平均
34.32 (3.5)	1	-1636	-1727	-1682	-1632	-1623	-1628	-1875	-1350	-1613
	2	-1506	-1675	-1591	-1621	-1660	-1641	-1530	-1648	-1589
	3	-1897	-1637	-1767	-1827	-1815	-1821	-1747	-1510	-1629
	4	-1783	-1765	-1774	-1801	-1795	-1798	-1683	-1659	-1671
	5	-1614	-1606	-1610	-1631	-1562	-1597	-1591	-1601	-1596
	6	-1768	-1708	-1738	-1889	-1757	-1823	-1825	-1736	-1781
	7	-1699	-1664	-1682	-1755	-1641	-1698	-1710	-1647	-1679
	8	-1778	-1666	-1722	-2022	-1799	-1911	-1968	-1630	-1799
	9	-2213	-1394	-1804	-1940	-1354	-1647	-2348	-942	-1645
	10	-1514	-949	-1232	-2084	-1632	-1858	-1501	-1034	-1268
	11	-2241	-1870	-2056	-1538	-1312	-1425	-2255	-1281	-1768
	C 2	425	367	396	411	423	417	501	450	476
	C 5	529	562	546	522	548	535	481	583	532
	C 6	591	608	600	605	671	638	552	672	612
	C 7	607	593	600	587	594	591	551	576	564
	C 10	102	37	70	407	354	381	211	271	241
39.23 (4.0)	1	-1877	-1985	-1931	-1867	-1882	-1875	-2156	-1583	-1870
	2	-1729	-1913	-1821	-1836	-1903	-1870	-1729	-1896	-1813
	3	-2148	-1884	-2016	-2068	-2063	-2066	-1981	-1759	-1870
	4	-2028	-2013	-2021	-2052	-2054	-2053	-1928	-1909	-1919
	5	-1856	-1846	-1851	-1875	-1798	-1837	-1837	-1846	-1842
	6	-2009	-1948	-1979	-2133	-2004	-2068	-2084	-1988	-2036
	7	-1932	-1893	-1913	-1997	-1880	-1939	-1951	-1887	-1919
	8	-2020	-1912	-1966	-2273	-2048	-2161	-2231	-1876	-2054
	9	-2467	-1640	-2054	-2186	-1594	-1890	-2617	-1170	-1894
	10	-1734	-1132	-1433	-2317	-1868	-2093	-1670	-1266	-1468
	11	-2492	-2117	-2305	-1768	-1540	-1654	-2522	-1521	-2022
	C 2	487	426	457	464	479	472	566	503	535
	C 5	611	643	627	606	626	616	565	664	615
	C 6	675	690	683	683	753	718	643	758	701
	C 7	691	675	683	665	672	669	634	657	646
	C 10	134	65	100	454	406	430	261	319	290
44.13 (4.5)	1	-2122	-2247	-2185	-2089	-2129	-2109	-2427	-1815	-2121
	2	-1956	-2154	-2055	-2041	-2137	-2089	-1924	-2141	-2033
	3	-2400	-2135	-2268	-2293	-2300	-2297	-2216	-2006	-2111
	4	-2275	-2265	-2270	-2280	-2295	-2288	-2169	-2156	-2163
	5	-2097	-2090	-2094	-2097	-2020	-2059	-2081	-2089	-2085
	6	-2252	-2190	-2221	-2368	-2229	-2299	-2336	-2235	-2286
	7	-2168	-2126	-2147	-2220	-2102	-2161	-2186	-2126	-2156
	8	-2268	-2164	-2216	-2507	-2280	-2394	-2488	-2060	-2274
	9	-2722	-1888	-2305	-2424	-1821	-2123	-2877	-1400	-2139
	10	-1958	-1324	-1641	-2540	-2088	-2314	-1832	-1495	-1664
	11	-2743	-2368	-2556	-1994	-1750	-1872	-2782	-1760	-2271
	C 2	552	485	519	527	530	529	625	553	589
	C 5	695	724	710	682	705	694	647	746	697
	C 6	761	774	768	773	835	804	732	845	789
	C 7	776	756	766	750	755	753	717	736	727
	C 10	167	95	131	510	451	481	304	363	334

荷重 kN (ton)	位置 番号	ひずみ測定値 μ								
		供試体 SF3904-001A			供試体 SF3904-001B			供試体 SF3904-001C		
		A(表)	B(裏)	平均	A(表)	B(裏)	平均	A(表)	B(裏)	平均
49. 03 (5. 0)	1	-2366	-2506	-2436	-2338	-2410	-2374	-2693	-2045	-2369
	2	-2184	-2394	-2289	-2268	-2396	-2332	-2119	-2384	-2252
	3	-2648	-2387	-2518	-2544	-2566	-2555	-2449	-2256	-2353
	4	-2520	-2515	-2518	-2537	-2565	-2551	-2411	-2404	-2408
	5	-2337	-2332	-2335	-2348	-2266	-2307	-2326	-2330	-2328
	6	-2494	-2431	-2463	-2627	-2481	-2554	-2585	-2482	-2533
	7	-2400	-2357	-2379	-2465	-2347	-2406	-2418	-2368	-2393
	8	-2513	-2415	-2464	-2765	-2537	-2651	-2746	-2287	-2517
	9	-2969	-2131	-2550	-2682	-2068	-2375	-3132	-1636	-2384
	10	-2182	-1523	-1853	-2783	-2329	-2556	-1991	—	—
	11	-2993	-2613	-2803	-2241	-1985	-2113	-3040	-1999	-2520
	C 2	617	547	582	586	586	586	686	607	647
	C 5	777	805	791	770	787	779	733	827	780
	C 6	846	857	852	864	920	892	822	932	877
	C 7	861	839	850	835	841	838	797	819	808
	C 10	207	129	168	563	500	532	354	409	382
53. 94 (5. 5)	1	-2614	-2766	-2690	-2588	-2692	-2640	-2954	-2285	-2620
	2	-2414	-2639	-2527	-2493	-2659	-2576	-2311	-2625	-2468
	3	-2897	-2643	-2770	-2794	-2837	-2816	-2680	-2513	-2597
	4	-2770	-2770	-2770	-2796	-2839	-2818	-2651	-2652	-2652
	5	-2579	-2574	-2577	-2601	-2518	-2560	-2578	-2569	-2574
	6	-2741	-2675	-2708	-2887	-2735	-2811	-2831	-2727	-2779
	7	-2636	-2591	-2614	-2717	-2596	-2657	-2647	-2608	-2628
	8	-2764	-2670	-2717	-3030	-2799	-2915	-2999	-2514	-2757
	9	-3219	-2379	-2799	-2942	-2319	-2631	-3385	-1873	-2629
	10	-2409	-1733	-2071	-3031	-2575	-2803	-2150	—	—
	11	-3244	-2865	-3055	-2495	-2227	-2361	-3296	-2234	-2765
	C 2	684	609	647	647	643	645	746	659	703
	C 5	863	888	876	858	871	865	819	909	864
	C 6	936	943	940	958	1008	983	912	1017	965
	C 7	947	923	935	925	927	926	878	902	890
	C 10	248	166	207	616	551	584	402	453	428
58. 84 (6. 0)	1	-2862	-3027	-2945	-2818	-2956	-2887	-3207	-2529	-2868
	2	-2643	-2884	-2764	-2704	-2903	-2804	-2501	-2867	-2684
	3	-3143	-2901	-3022	-3026	-3091	-3059	-2906	-2770	-2838
	4	-3017	-3023	-3020	-3036	-3093	-3065	-2888	-2901	-2895
	5	-2816	-2814	-2815	-2833	-2747	-2790	-2810	-2806	-2808
	6	-2986	-2917	-2952	-3129	-2970	-3049	-3075	-2971	-3023
	7	-2869	-2822	-2846	-2947	-2827	-2887	-2868	-2851	-2860
	8	-3011	-2924	-2968	-3274	-3043	-3159	-3251	-2734	-2993
	9	-3466	-2624	-3045	-3186	-2553	-2870	-3634	-2110	-2872
	10	-2636	-1946	-2291	-3261	-2805	-3033	-2307	—	—
	11	-3491	-3110	-3301	-2733	-2453	-2593	-3552	-2470	-3011
	C 2	752	671	712	705	698	702	807	712	760
	C 5	948	971	960	940	949	945	905	990	948
	C 6	1025	1027	1026	1046	1088	1067	1003	1104	1054
	C 7	1036	1009	1023	1008	1008	1008	955	986	971
	C 10	295	206	251	666	597	632	448	498	473

荷重 kN (ton)	位置 番号	ひずみ測定値 μ								
		供試体 SF3904-001A			供試体 SF3904-001B			供試体 SF3904-001C		
		A(表)	B(裏)	平均	A(表)	B(裏)	平均	A(表)	B(裏)	
63.74 (6.5)	1	-3115	-3289	-3202	-3056	-3225	-3141	-3461	-2779	-3120
	2	-2873	-3133	-3003	-2920	-3155	-3038	-2691	-3109	-2900
	3	-3391	-3159	-3275	-3264	-3350	-3307	-3137	-3026	-3082
	4	-3270	-3282	-3276	-3286	-3359	-3323	-3124	-3149	-3137
	5	-3059	-3059	-3059	-3074	-2985	-3030	-3054	-3043	-3049
	6	-3233	-3162	-3198	-3377	-3213	-3295	-3316	-3214	-3265
	7	-3110	-3060	-3085	-3188	-3068	-3128	-3083	-3100	-3092
	8	-3268	-3184	-3226	-3528	-3293	-3411	-3503	-2948	-3226
	9	-3714	-2875	-3295	-3434	-2796	-3115	-3886	-2348	-3117
	10	-2865	-2172	-2519	-3493	-3040	-3267	-2466	—	—
	11	-3742	-3362	-3552	-2977	-2693	-2835	-3810	-2704	-3257
	C 2	819	731	775	765	754	760	867	766	817
	C 5	1032	1054	1043	1025	1030	1028	992	1074	1033
	C 6	1116	1113	1115	1136	1173	1155	1093	1194	1144
	C 7	1124	1092	1108	1094	1091	1093	1031	1072	1052
	C 10	343	246	295	718	645	682	497	543	520
68.65 (7.0)	1	-3369	-3548	-3459	-3291	-3489	-3390	-3714	-3035	-3375
	2	-3103	-3379	-3241	-3134	-3400	-3267	-2884	-3351	-3118
	3	-3634	-3416	-3525	-3500	-3606	-3553	-3377	-3274	-3326
	4	-3520	-3537	-3529	-3530	-3619	-3575	-3359	-3404	-3382
	5	-3299	-3300	-3300	-3311	-3218	-3265	-3300	-3285	-3293
	6	-3480	-3405	-3443	-3619	-3450	-3535	-3554	-3464	-3509
	7	-3346	-3293	-3320	-3422	-3303	-3363	-3292	-3361	-3327
	8	-3518	-3442	-3480	-3774	-3540	-3657	-3768	-3166	-3467
	9	-3962	-3121	-3542	-3679	-3036	-3358	-4140	-2588	-3364
	10	-3096	-2394	-2745	-3721	-3271	-3496	-2626	—	—
	11	-3988	-3608	-3798	-3220	-2931	-3076	-4074	-2936	-3505
	C 2	886	792	839	825	810	818	926	819	873
	C 5	1117	1136	1127	1109	1110	1110	1081	1159	1120
	C 6	1207	1199	1203	1226	1255	1241	1183	1288	1236
	C 7	1212	1177	1195	1179	1174	1177	1106	1163	1135
	C 10	395	291	343	770	692	731	543	586	565
73.55 (7.5)	1	-3626	-3805	-3716	-3527	-3753	-3640	-3959	-3284	-3622
	2	-3337	-3619	-3478	-3350	-3648	-3499	-3070	-3585	-3328
	3	-3880	-3671	-3776	-3739	-3863	-3801	-3606	-3518	-3562
	4	-3770	-3793	-3782	-3775	-3880	-3828	-3590	-3649	-3620
	5	-3540	-3542	-3541	-3546	-3449	-3498	-3537	-3518	-3528
	6	-3727	-3646	-3687	-3864	-3687	-3776	-3785	-3705	-3745
	7	-3584	-3526	-3555	-3655	-3537	-3596	-3498	-3611	-3555
	8	-3772	-3700	-3736	-4021	-3786	-3904	-4007	-3377	-3692
	9	-4208	-3369	-3789	-3924	-3275	-3600	-4385	-2820	-3603
	10	-3323	-2621	-2972	-3949	-3502	-3726	-2781	—	—
	11	-4231	-3853	-4042	-3464	-3170	-3317	-4331	-3164	-3748
	C 2	955	854	905	885	867	876	985	872	929
	C 5	1203	1221	1212	1195	1191	1193	1167	1242	1205
	C 6	1298	1286	1292	1318	1342	1330	1271	1379	1325
	C 7	1301	1263	1282	1266	1259	1263	1180	1247	1214
	C 10	448	336	392	822	740	781	590	629	610

荷重 kN (ton)	位置 番号	ひずみ測定値 μ								
		供試体 SF3904-001 A			供試体 SF3904-001 B			供試体 SF3904-001 C		
		A(表)	B(裏)	平均	A(表)	B(裏)	平均	A(表)	B(裏)	平均
78.45 (8.0)	1	-3876	-4060	-3968	-3766	-4019	-3893	-4208	-3544	-3876
	2	-3561	-3866	-3714	-3568	-3899	-3734	-3258	-3827	-3543
	3	-4118	-3927	-4023	-3981	-4126	-4054	-3840	-3767	-3804
	4	-4016	-4048	-4032	-4026	-4149	-4088	-3826	-3901	-3864
	5	-3776	-3782	-3779	-3783	-3685	-3734	-3781	-3757	-3769
	6	-3971	-3887	-3929	-4111	-3930	-4020	-4022	-3952	-3987
	7	-3817	-3759	-3788	-3897	-3778	-3838	-3711	-3867	-3789
	8	-4022	—	—	-4273	-4037	-4155	-4261	-3592	-3927
	9	-4451	-3618	-4035	-4173	-3519	-3846	-4636	-3060	-3848
	10	-3553	-2847	-3200	-4179	-3739	-3959	-2939	—	—
	11	-4473	-4099	-4286	-3713	-3421	-3567	-4595	-3399	-3997
	C 2	1020	911	966	946	925	936	1046	925	986
	C 5	1286	1301	1294	1280	1272	1276	1256	1327	1292
	C 6	1387	1370	1379	1408	1426	1417	1363	1470	1417
	C 7	1390	1344	1367	1354	1342	1348	1257	1335	1296
	C 10	500	380	440	873	788	831	638	675	657
83.36 (8.5)	1	-4134	-4316	-4225	-4013	-4296	-4155	-4464	-3825	-4145
	2	-3792	-4114	-3953	-3793	-4156	-3975	-3452	-4081	-3767
	3	-4358	-4183	-4271	-4234	-4400	-4317	-4081	-4030	-4056
	4	-4270	-4309	-4289	-4285	-4427	-4356	-4074	-4164	-4119
	5	-4021	-4027	-4024	-4029	-3926	-3978	-4032	-4005	-4019
	6	-4218	-4134	-4176	-4368	-4180	-4274	-4272	-4207	-4239
	7	-4060	-3997	-4029	-4145	-4027	-4086	-3939	-4127	-4033
	8	-4280	-4222	-4251	-4535	-4294	-4415	-4526	-3815	-4171
	9	-4698	-3870	-4284	-4428	-3770	-4099	-4895	-3309	-4102
	10	-3784	-3082	-3433	-4419	-3983	-4201	-3103	—	—
	11	-4714	-4350	-4532	-3975	-3679	-3827	-4869	-3649	-4259
	C 2	1086	970	1028	1010	988	999	1110	983	1047
	C 5	1372	1383	1378	1369	1356	1363	1349	1417	1383
	C 6	1469	1454	1462	1503	1515	1509	1460	1564	1512
	C 7	1477	1427	1452	1446	1430	1438	1342	1424	1383
	C 10	553	424	489	927	838	883	688	722	705
88.26 (9.0)	1	-4392	-4576	-4484	-4243	-4555	-4399	-4710	-4100	-4405
	2	-4023	-4365	-4194	-4002	-4396	-4199	-3639	-4327	-3983
	3	-4600	-4444	-4522	-4467	-4654	-4561	-4311	-4286	-4299
	4	-4523	-4570	-4547	-4524	-4684	-4604	-4314	-4418	-4366
	5	-4266	-4266	-4266	-4260	-4151	-4206	-4270	-4250	-4260
	6	-4470	-4380	-4425	-4605	-4410	-4508	-4512	-4454	-4483
	7	-4301	-4234	-4268	-4373	-4256	-4315	-4159	-4377	-4268
	8	-4536	-4486	-4511	-4776	-4533	-4655	-4782	-3040	-3911
	9	-4949	-4124	-4537	-4666	-4006	-4336	-5148	-3553	-4351
	10	-4019	-3317	-3668	-4642	-4209	-4426	-3260	—	—
	11	-4960	-4601	-4781	-4217	-3920	-4069	-5130	-3893	-4512
	C 2	1155	1028	1092	1069	1042	1056	1173	1039	1106
	C 5	1460	1467	1464	1451	1435	1443	1436	1508	1472
	C 6	1573	1542	1558	1592	1596	1594	1554	1655	1605
	C 7	1569	1514	1542	1530	1512	1521	1424	1509	1467
	C 10	609	471	540	976	883	930	738	769	754

荷重 kN (ton)	位置 番号	ひずみ測定値 μ								
		供試体 SF3904-001A			供試体 SF3904-001B			供試体 SF3904-001C		
		A(表)	B(裏)	平均	A(表)	B(裏)	平均	A(表)	B(裏)	平均
93.16 (9.5)	1	-4646	-4832	-4739	-4487	-4828	-4658	-4955	-4381	-4668
	2	-4252	-4616	-4434	-4224	-4650	-4437	-3825	-4571	-4198
	3	-4839	-4702	-4771	-4713	-4924	-4819	-4540	-4546	-4543
	4	-4774	-4831	-4803	-4778	-4957	-4868	-4551	-4670	-4611
	5	-4510	-4518	-4514	-4501	-4390	-4446	-4507	-4494	-4501
	6	-4718	-4625	-4672	-4856	-4651	-4754	-4751	-4699	-4725
	7	-4542	-4470	-4506	-4617	-4498	-4558	-4380	-4627	-4504
	8	-4790	-4749	-4770	-5034	-4787	-4911	-5037	-3156	-4097
	9	-5197	-4381	-4789	-4921	-4257	-4589	-5399	-3800	-4600
	10	-4252	-3553	-3903	-4877	-4452	-4665	-3420	—	—
	11	-5199	-4852	-5026	-4475	-4177	-4326	-5392	-4138	-4765
	C 2	1222	1087	1155	1133	1096	1115	1234	1093	1164
	C 5	1546	1551	1549	1538	1518	1528	1524	1596	1560
	C 6	1666	1628	1647	1685	1683	1684	1648	1745	1697
	C 7	1658	1597	1628	1620	1597	1609	1506	1592	1549
	C 10	667	518	593	1029	933	981	788	814	801
98.07 (10.0)	1	-4903	-5092	-4998	-4728	-5100	-4914	-5206	-4668	-4937
	2	-4484	-4870	-4677	-4440	-4901	-4671	-4014	-4819	-4417
	3	-5080	-4963	-5022	-4957	-5189	-5073	-4772	-4810	-4791
	4	-5029	-5097	-5063	-5026	-5228	-5127	-4793	-4930	-4862
	5	-4755	-4767	-4761	-4738	-4624	-4681	-4751	-4738	-4745
	6	-4969	-4874	-4922	-5103	-4895	-4999	-4994	-4949	-4971
	7	-4787	-4710	-4749	-4852	-4736	-4794	-4607	-4879	-4743
	8	-5049	-5019	-5034	-5287	-5037	-5162	-5294	-3124	-4209
	9	-5451	-4644	-5048	-5174	-4507	-4841	-5659	-4059	-4859
	10	-4491	-3794	-4143	-5108	-4689	-4899	-3583	—	—
	11	-5443	-5111	-5277	-4728	-4430	-4579	-5663	-4394	-5029
	C 2	1290	1146	1218	1196	1151	1174	1297	1149	1223
	C 5	1633	1635	1634	1627	1602	1615	1616	1684	1650
	C 6	1761	1717	1739	1778	1770	1774	1748	1834	1791
	C 7	1749	1683	1716	1708	1682	1695	1593	1676	1635
	C 10	728	565	647	1082	981	1032	839	864	852
102.97 (10.5)	1	-5169	-5347	-5258	-4983	-5393	-5188	-5468	-4973	-5221
	2	-4722	-5120	-4921	-4664	-5164	-4914	-4208	-5076	-4642
	3	-5323	-5220	-5272	-5216	-5474	-5345	-5013	-5090	-5052
	4	-5282	-5359	-5321	-5288	-5515	-5402	-5042	-5198	-5120
	5	-4999	-5012	-5006	-4991	-4868	-4930	-5004	-4993	-4999
	6	-5220	-5120	-5170	-5363	-5148	-5256	-5245	-5208	-5226
	7	-5033	-4948	-4991	-5106	-4987	-5047	-4846	-5136	-4991
	8	-5306	-5290	-5298	-5561	-5307	-5434	-5561	-3150	-4356
	9	-5707	-4910	-5309	-5441	-4773	-5107	-5941	-4340	-5141
	10	-4731	-4037	-4384	-5352	-4946	-5149	-3756	—	—
	11	-5684	-5374	-5529	-5000	-4705	-4853	-5958	-4667	-5313
	C 2	1356	1204	1280	1261	1209	1235	1363	1206	1285
	C 5	1719	1717	1718	1718	1687	1703	1715	1776	1746
	C 6	1854	1803	1829	1875	1861	1868	1852	1929	1891
	C 7	1839	1767	1803	1802	1773	1788	1690	1759	1725
	C 10	789	611	700	1136	1034	1085	892	916	904

荷重 kN (ton)	位置 番号	ひずみ測定値 μ								
		供試体 SF3904-001 A			供試体 SF3904-001 B			供試体 SF3904-001 C		
		A(表)	B(裏)	平均	A(表)	B(裏)	平均	A(表)	B(裏)	
107. 87 (11. 0)	1	-5426	-5610	-5518	-5235	-5693	-5464	-5733	-5285	-5509
	2	-4950	-5371	-5161	-4881	-5427	-5154	-4400	-5329	-4865
	3	-5564	-5481	-5523	-5476	-5764	-5620	-5254	-5372	-5313
	4	-5535	-5620	-5577	-5546	-5805	-5676	-5286	-5469	-5378
	5	-5240	-5254	-5247	-5241	-5111	-5176	-5254	-5247	-5251
	6	-5469	-5360	-5415	-5622	-5397	-5510	-5492	-5466	-5479
	7	-5275	-5181	-5228	-5358	-5232	-5295	-5084	-5391	-5238
	8	-5561	-5563	-5562	-5840	-5574	-5707	-5831	-3205	-4518
	9	-5966	-5175	-5571	-5708	-5040	-5374	-6232	-4624	-5428
	10	-4970	-4277	-4624	-5590	-5199	-5395	-3929	—	—
	11	-5932	-5645	-5789	-5272	-4980	-5126	-6269	-4942	-5606
	C 2	1426	1260	1343	1324	1264	1294	1427	1258	1343
	C 5	1806	1797	1802	1807	1774	1791	1812	1865	1839
	C 6	1947	1890	1919	1966	1952	1959	1956	2020	1988
	C 7	1929	1852	1891	1892	1861	1877	1788	1840	1814
	C 10	853	659	756	1185	1085	1135	943	967	955
112. 78 (11. 5)	1	-5722	-5922	-5822	-5528	-6060	-5794	-6024	-5634	-5829
	2	-5206	-5651	-5429	-5121	-5732	-5427	-4606	-5597	-5102
	3	-5834	-5782	-5808	-5779	-6118	-5949	-5514	-5684	-5599
	4	-5827	-5920	-5873	-5847	-6155	-6001	-5551	-5770	-5661
	5	-5514	-5526	-5520	-5530	-5391	-5461	-5523	-5522	-5523
	6	-5758	-5636	-5697	-5930	-5684	-5807	-5759	-5751	-5755
	7	-5552	-5447	-5500	-5664	-5514	-5589	-5342	-5674	-5508
	8	-5862	-5890	-5876	-6185	-5898	-6042	-6135	-3296	-4716
	9	-6268	-5492	-5880	-6019	-5359	-5689	-6559	-4936	-5748
	10	-5236	-4546	-4891	-5859	-5495	-5677	-4115	—	—
	11	-6221	-5970	-6096	-5587	-5308	-5448	-6629	-5245	-5937
	C 2	1502	1314	1408	1397	1324	1361	1499	1312	1406
	C 5	1900	1887	1894	1908	1874	1891	1919	1962	1941
	C 6	2048	1989	2019	2070	2057	2064	2076	2121	2099
	C 7	2027	1946	1987	1998	1962	1980	1898	1927	1913
	C 10	920	707	814	1240	1144	1192	996	1023	1010
117. 68 (12. 0)	1	-6046	-6273	-6160	-5823	-6450	-6137	-6343	-6033	-6188
	2	-5475	-5944	-5710	-5342	-6035	-5689	-4831	-5891	-5361
	3	-6125	-6116	-6121	-6086	-6494	-6290	-5789	-6033	-5911
	4	-6150	-6246	-6198	-6154	-6505	-6330	-5846	-6112	-5979
	5	-5807	-5809	-5808	-5814	-5647	-5731	-5823	-5825	-5824
	6	-6074	-5922	-5998	-6246	-5955	-6100	-6062	-6064	-6063
	7	-5853	-5728	-5791	-5962	-5773	-5868	-5628	-5991	-5810
	8	-6194	-6259	-6227	-6537	-6215	-6376	-6486	-3420	-4953
	9	-6589	-5829	-6209	-6321	-5667	-5994	-6909	-5264	-6087
	10	-5507	-4814	-5161	-6108	-5771	-5940	-4313	—	—
	11	-6541	-6339	-6440	-5898	-5628	-5763	-7023	-5572	-6298
	C 2	1585	1366	1476	1467	1380	1424	1570	1360	1465
	C 5	2000	1980	1990	2002	1970	1986	2031	2063	2047
	C 6	2158	2095	2127	2165	2161	2163	2206	2229	2218
	C 7	2130	2047	2089	2097	2061	2079	2015	2018	2017
	C 10	987	755	871	1293	1203	1248	1044	1076	1060

荷重 kN (ton)	位置 番号	ひずみ測定値 μ								
		供試体 SF3904-001A			供試体 SF3904-001B			供試体 SF3904-001C		
		A(表)	B(裏)	平均	A(表)	B(裏)	平均	A(表)	B(裏)	
122.58 (12.5)	1	-6482	-6753	-6618	-6204	-6955	-6580	-6756	-6588	-6672
	2	-5814	-6306	-6060	-5604	-6411	-6008	-5118	-6267	-5693
	3	-6500	-6564	-6532	-6467	-6983	-6725	-6131	-6487	-6309
	4	-6591	-6681	-6636	-6547	-6965	-6756	-6240	-6585	-6413
	5	-6202	-6168	-6185	-6176	-5967	-6072	-6222	-6217	-6220
	6	-6501	-6293	-6397	-6653	-6295	-6474	-6463	-6477	-6470
	7	-6257	-6090	-6174	-6347	-6095	-6221	-5999	-6423	-6211
	8	-6646	-6774	-6710	-7008	-6630	-6819	-6967	-3560	-5264
	9	-6999	-6272	-6636	-6689	-6075	-6382	-7347	-5660	-6504
	10	-5834	-5129	-5482	-6396	-6125	-6261	-4547	—	—
	11	-6958	-6841	-6900	-6284	-6065	-6175	-7537	-5993	-6765
	C 2	1689	1422	1556	1556	1446	1501	1660	1417	1539
	C 5	2124	2099	2112	2124	2094	2109	2179	2195	2187
	C 6	2290	2230	2260	2282	2303	2293	2377	2366	2372
	C 7	2258	2177	2218	2218	2189	2204	2172	2135	2154
	C 10	1060	811	936	1362	1275	1319	1098	1138	1118
127.49 (13.0)	1	-7057	-7387	-7222	-6756	-7696	-7226			
	2	-6230	-6742	-6486	-5948	-6936	-6442			
	3	-6967	-7150	-7059	-7009	-7703	-7356			
	4	-7186	-7252	-7219	-7123	-7644	-7384			
	5	—	-6605	—	-6696	-6415	-6556			
	6	-7074	-6749	-6912	-7254	-6793	-7024			
	7	-6787	-6529	-6658	-6901	-6570	-6736			
	8	-7234	-7466	-7350	-7710	-7276	-7493			
	9	-7499	-6838	-7169	-7197	-6685	-6941			
	10	-6212	-5478	-5845	-6762	-6598	-6680			
	11	-7449	-7490	-7470	-6830	-6703	-6767			
	C 2	1816	1482	1649	1672	1522	1597			
	C 5	2277	2246	2262	2278	2267	2273			
	C 6	2444	2398	2421	2430	2508	2469			
	C 7	2414	2335	2375	2377	2367	2372			
	C 10	1134	870	1002	1453	1371	1412			
132.39 (13.5)	1	-7881	-8304	-8093	-7482	-8649	-8066			
	2	-6790	-7303	-7047	-6365	-7600	-6983			
	3	-7604	-7980	-7792	-7714	-8649	-8182			
	4	-8037	-8071	-8054	-7893	-8593	-8243			
	5	-7468	-7202	-7335	-7386	-6985	-7186			
	6	-7911	-7353	-7632	-8086	-7415	-7751			
	7	-7536	-7092	-7314	-7615	-7149	-7382			
	8	-8052	-8467	-8260	-8665	-8106	-8386			
	9	-8165	-7631	-7898	-7849	-7491	-7670			
	10	-6687	-5947	-6317	-7186	-7173	-7180			
	11	-8135	-8442	-8289	-7517	-7576	-7547			
	C 2	2017	1567	1792	1811	1613	1712			
	C 5	2493	2498	2496	2470	2492	2481			
	C 6	2666	2674	2670	2607	2785	2696			
	C 7	2640	2591	2616	2587	2605	2596			
	C 10	1246	955	1101	1566	1489	1528			

荷重 kN (ton)	位置 番号	ひずみ測定値 μ								
		供試体 SF3904-001A			供試体 SF3904-001B			供試体 SF3904-001C		
		A(表)	B(裏)	平均	A(表)	B(裏)	平均	A(表)	B(裏)	平均
137.29 (14.0)	1	-9083	-9649	-9366	-8548	-10014	-9281			
	2	-7585	-8085	-7835	-6915	-8513	-7714			
	3	-8546	-9223	-8885	-8742	-10007	-9375			
	4	-9285	-9369	-9327	-7787	-10012	-8900			
	5	-8559	-8100	-8330	-8388	-7728	-8058			
	6	-9246	-8262	-8754	-9364	-8255	-8809			
	7	-8266	-7941	-8104	-8635	-7925	-8280			
	8	-9264	-10015	-9640	-10027	-9237	-9632			
	9	-9125	-8782	-8954	-8767	-8685	-8726			
	10	-7337	-6556	-6947	-7695	-7958	-7827			
	11	-9066	-9740	-9403	-8454	-8877	-8666			
	C 2	2289	1671	1980	2009	1741	1875			
	C 5	2776	2836	2806	2722	2819	2771			
	C 6	2947	3058	3003	2823	3214	3019			
	C 7	2909	2933	2921	2843	2954	2899			
	C 10	1391	1063	1227	1728	1656	1692			
142.20 (14.5)	1	-10939	-11727	-11333	-10209	-12354	-11282			
	2	-8751	-9260	-9006	-7449	-9871	-8660			
	3	-10076	-11207	-10642	-10321	-12312	-11317			
	4	-11032	-11387	-11209	—	-12480	—			
	5	-10298	-9149	-9724	-10059	-8671	-9365			
	6	-11630	-9325	-10478	-11834	-9373	-10603			
	7	—	-8960	—	-10333	-8947	-9640			
	8	-10927	-12327	-11627	-12189	-10954	-11572			
	9	-10575	-10396	-10486	-10157	-10584	-10371			
	10	-8264	-7461	-7863	-8232	-9244	-8738			
	11	-10479	-11677	-11078	-9962	-10884	-10423			
	C 2	2716	1828	2272	2227	1781	2004			
	C 5	3118	3344	3231	3046	3261	3154			
	C 6	3253	3671	3462	3017	3907	3462			
	C 7	1438	3441	2440	3175	3587	3381			
	C 10	1630	1217	1424	1929	1743	1836			
147.10 (15.0)	1	-13305	-14475	-13890						
	2	-9788	-10512	-10150						
	3	-12083	-13852	-12968						
	4	-10426	-14331	-12379						
	5	-12930	-9867	-11399						
	6	—	-10106	—						
	7	—	-9723	—						
	8	-12419	-15753	-14086						
	9	-8531	-12511	-10521						
	10	-9004	-8493	-8749						
	11	-12041	-14177	-13109						
	C 2	3268	2089	2679						
	C 5	3160	4028	3594						
	C 6	—	4736	—						
	C 7	—	3967	—						
	C 10	1913	1419	1666						

航空宇宙技術研究所資料563号

昭和62年1月発行

発行所 航空宇宙技術研究所
東京都調布市深大寺東町7-44-1

電話武藏野三鷹(0422)47-5911(大代表) 〒182

印刷所 株式会社 共進
東京都杉並区久我山5-6-17
